

## بررسی کارایی حذف آفت کش ملاتیون توسط نانوکامپوزیت-g-C<sub>3</sub>N<sub>4</sub>/Fe<sub>3</sub>O<sub>4</sub>/Ag از محلول‌های آبی در حضور اشعه UV

علی اسرافیلی<sup>۱\*</sup>، سودابه قدسی<sup>۲</sup>، روشنگ رضایی کلانتری<sup>۳</sup>، میترا غلامی<sup>۳</sup>

<sup>۱</sup> گروه مهندسی بهداشت محیط، دانشگاه علوم پزشکی ایران، تهران، ایران

<sup>۲</sup> دانشجوی کارشناسی ارشد مهندسی بهداشت محیط، دانشگاه بهداشت، دانشگاه علوم پزشکی ایران، تهران، ایران

<sup>۳</sup> مرکز تحقیقات تکنولوژی بهداشت محیط، دانشگاه علوم پزشکی ایران، تهران، ایران

تاریخ دریافت مقاله: ۱۳۹۸/۹/۲۳؛ تاریخ پذیرش: ۱۳۹۸/۱۱/۲۷

### چکیده

زمینه و هدف: ارگانوفسفره‌ها از شایع‌ترین سموم دفع آفات در جهان به شمار می‌روند. از سموم پرمصرف این گروه ملاتیون می‌باشد که توسط EPA در گروه III مواد از نظر سرطان‌زایی تقسیم می‌شود. بنابراین با توجه به مصرف زیاد این آفت کش و قدرت بیماری زایی آن باید به شیوه مناسب حذف گردد. یکی از راه‌های حذف استفاده از فرآیندهای اکسیداسیون پیشرفته است. هدف از این مطالعه حذف فتوکاتالیستی آفت کش ملاتیون توسط نانوکامپوزیت g-C<sub>3</sub>N<sub>4</sub>/Fe<sub>3</sub>O<sub>4</sub>/Ag می‌باشد.

روش: در این مطالعه از نانوکامپوزیت Ag-g-C<sub>3</sub>N<sub>4</sub>/Fe<sub>3</sub>O<sub>4</sub> که با استفاده از روش هیدروترمال سنتز گردید، برای حذف فتوکاتالیستی ملاتیون استفاده شد. متغیرهای مورد بررسی pH، دوز نانوکامپوزیت، غلظت آلاینده بود. هم چنین اثر رادیکال خوارهای اگرالات آمونیوم، ترت بوتانول و بنزوکینون بر انجام آزمایش سنجش شد.

یافته‌ها: بهترین راندمان حذف ملاتیون در pH=7 دوز ۰/۵ گرم بر لیتر و غلظت آلاینده ۱۰ میلی گرم بر لیتر و در زمان ۶۰ دقیقه و برابر با ۱۰۰٪ بود. با افزایش دوز کاتالیست تا ۰/۵ گرم بر لیتر راندمان افزایش یافت. اما با افزایش غلظت آلاینده راندمان حذف روند نزولی داشت. هم چنین راندمان حذف ملاتیون در حضور رادیکال خوارهای اگرالات آمونیوم، ترت بوتانول و بنزوکینون به ترتیب ۹۳/۳۶٪، ۴۴/۷۸٪ و ۹۰/۷۱٪ به دست آمد و سیتیک واکنش از معادله درجه اول با  $R^2 = ۰/۹۸۵۲$  پیروی کرد.

نتیجه گیری: بنابراین Ag-g-C<sub>3</sub>N<sub>4</sub>/Fe<sub>3</sub>O<sub>4</sub> از پتانسیل بالایی برای حذف ملاتیون برخوردار بوده و می‌تواند برای از بین بردن آلاینده‌های مختلف از محلول‌های آبی استفاده شود.

کلمات کلیدی: فتوکاتالیست، ملاتیون، g-C<sub>3</sub>N<sub>4</sub>/Fe<sub>3</sub>O<sub>4</sub>/Ag

## مقدمه

نیستند چون باعث تجزیه ناقص آلاینده شده و فقط آن را از یک فاز به فاز دیگر منتقل می‌کنند.<sup>۱۰</sup> در سال‌های اخیر استفاده از روش‌های اکسیداسیون پیشرفته (AOPs) (Advanced Oxidation Processes) متداول شده است.<sup>۱۱</sup> فرآیندهای اکسیداسیون پیشرفته از طریق تولید رادیکال‌های آزاد با قدرت اکسیدکنندگی بالا مانند رادیکال هیدروکسیل ( $\text{OH}^\circ$ ) سبب تجزیه کامل آلاینده‌ها، معدنی سازی و تولید  $\text{CO}_2$  و  $\text{H}_2\text{O}$  می‌شود.<sup>۱۲</sup> در میان روش‌های اکسیداسیون پیشرفت، استفاده از فتوکاتالیست ناهمگن یه روش مناسب برای حذف آلاینده‌های نوظهور مانند آفت کش ملاتیون است.<sup>۴</sup> مکانیسم فرآیند فتوکاتالیستی به این صورت است که هنگامی انرژی یک فوتون برابر یا بیشتر از شکاف انرژی نیمه هادی باشد الکترون‌ها از لایه والانس به لایه هدایت رفته و حفره‌ها باقی می‌مانند. الکترون‌های تحریک شده و حفره‌ها می‌توانند باعث تولید رادیکال هیدروکسیل شده که این رادیکال‌ها مواد آلی را به مواد معدنی تبدیل می‌کنند.<sup>۱۳</sup> اخیراً ساخت نانو کامپوزیت‌هایی که حاوی دو یا چند مواد نانوذره مختلف برای حذف آلاینده‌ها هستند، افزایش یافته است. این نانو کامپوزیت‌هایی چندمنظوره دارای یک ترکیب مغناطیسی و یک ترکیب نیمه هادی می‌باشند و به عنوان یک جایگزین امیدوارکننده برای حذف آلاینده‌های آلی و پاتوژن‌ها از فاضلاب محسوب می‌شوند و دارای مزایایی چون راندمان بالا، سمتیت کم، پایداری شیمیایی عالی و هزینه نسبی کم می‌باشند.<sup>۱۴</sup> اخیراً ساختارهای گرافیت مانند گرافن (G) و گرافن اکسید (GO) به علت سطح بزرگ و شش ضلعی آنها برای تعاملات قوی با مولکول‌های دیگر مورد توجه قرار گرفته‌اند.<sup>۱۵</sup> پایدارترین آلوتروپ نیترید کربن، گرافیت نیترید کربن (g-C<sub>3</sub>N<sub>4</sub>) می‌باشد که نوعی فتوکاتالیست عاری از فلز بوده و به دلیل دارا بودن خواص فیزیکوشیمیایی خاص و هم‌چنین باندگپ ۲/۷ الکترون ولت دارای خاصیت جذب نور خوبی می‌باشد و به طور گسترده‌ای برای تخریب و تغییط

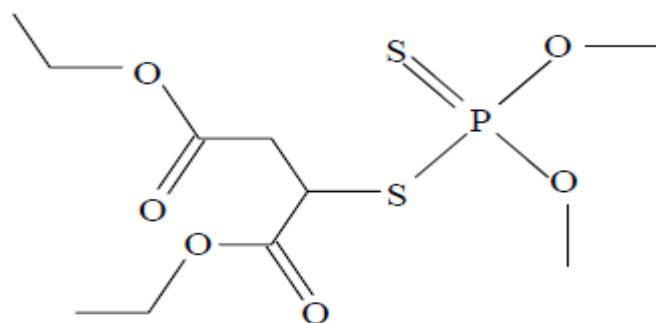
آفت کش‌های ارگانوفسفره از شایع‌ترین سوم دفع آفات در جهان به شمار می‌روند. متاسفانه مصرف بی‌رویه آفت کش‌های ارگانوفسفره در بسیاری از مناطق جهان سبب افزایش فراوانی آن‌ها در محیط زیست و آسیب آن شده است.<sup>۱</sup> این آفت کش‌ها از راه‌های مختلفی چون فاضلاب‌های صنعتی، رواناب کشاورزی و استفاده از مواد شیمیایی می‌توانند وارد منابع آب شوند.<sup>۲</sup> حشره کش‌ها در ایالات متحده و حدود ۷۰٪ مصرف حشره کش‌ها را در ایالات متحده و حدود ۴۰٪ را در دنیا به خود اختصاص داده اند که در این بین ملاتیون با بیشترین مقدار مصرف حدود ۳۲–۴۴٪ از کل مصرف ارگانوفسفره‌ها را به خود اختصاص داده است.<sup>۳</sup> ملاتیون [S-1,2bis(ethoxycarbonyl)ethyl O,O-dimethyl phosphorodithioate] یک حشره کش غیر سیستمیک بوده که توسط EPA از لحاظ سمتیت در کلاس III مواد از نظر سرتانزایی طبقه‌بندی شده است.<sup>۴</sup> مشخصات آفت کش ملاتیون در جدول ۱ آورده شده است. مکانیسم سوم ارگانوفسفره مانند ملاتیون تاثیر بر فعالیت آنزیم استیل کولین استراز و تجمع استیل کولین در پایانه‌های عصبی که باعث اختلال در سیستم عصبی مرکزی شده و تهدیدی جدی برای سلامت انسان محسوب می‌شود.<sup>۵</sup> سازمان بهداشت جهانی (World Health Organization) (WHO) حداکثر مقدار این سوم را در آب ۱/۰ میکروگرم بر لیتر اعلام کرده است.<sup>۶</sup> در مطالعه‌ای که توسط درگاهی و همکاران با هدف سنجش ملاتیون در منابع آبی کرمانشاه انجام گرفت غلظت ملاتیون ملاتیون در پژوهش انجام گرفته توسط شاکر خطیبی و همکاران چنین در پژوهش انجام گرفته توسط شاکر خطیبی و همکاران غلظت ملاتیون در منابع آبی ۰/۴۵۶ میکرو گرم بر لیتر بود.<sup>۷</sup> هم‌چنین در پژوهش انجام گرفته توسط شاکر خطیبی و همکاران غلظت ملاتیون در منابع آبی ۱/۰۱±۰/۰۱۲ میکرو گرم بر لیتر تشخیص داده شد.<sup>۸</sup> برای حذف ملاتیون از روش‌های مختلفی مانند جذب، فیلتراسیون، تجزیه بیولوژیکی، فرآیندهای غشایی و انعقاد شیمیایی استفاده می‌شود.<sup>۹</sup> این روش‌ها برای تصفیه زیاد مؤثر

کاهش سطح ویژه و واکنش پذیری می شود<sup>۱۹</sup>. حال اگر موادی را برای ترکیب با  $\text{Fe}_3\text{O}_4$  پیدا کنیم، قطعاً کارایی جداسازی بارها را بهبود می بخشد. بارگذاری فلزات مانند Pt، Au و Ag در سطح نیمه رساناها، می تواند فعالیت فتوکاتالیستی را تحت تابش نور بهبود می بخشد<sup>۲۰</sup>. نانو ذرات Ag دارای سطح بسیار بزرگی بوده که اجازه هماهنگی بسیاری از لیگاندها را می دهد، که باعث افزایش جداسازی حفره های الکترونی، پایداری شیمیایی، افزایش کارایی فتوکاتالیست و دارای خواص عالی ضد میکروبی و گندздایی می باشد<sup>۲۱، ۲۲</sup>. در این مطالعه، نانو کامپوزیت  $\text{g-C}_3\text{N}_4/\text{Fe}_3\text{O}_4/\text{Ag}$  با هدف حذف آفت کش دیازینون از محلول های آبی تهیه شد. این فتوکاتالیست با یک روش ساده هیدروترمال سنتز شد و با تکنیک های SEM، EDX، XRD، FT-IR و PL تعیین مشخصات شد. براساس مطالعات ما این گزارش اولین مطالعه در ارتباط با حذف آفت کش ملاتیون توسط نانو کامپوزیت  $\text{g-C}_3\text{N}_4/\text{Fe}_3\text{O}_4/\text{Ag}$  است.

آلیندهای آلی تحت تاثیر نور استفاده می شوند<sup>۱۷</sup>. همچنین دارای ویژگی های چون سازگاری با محیط زیست، هزینه کم، ثبات شیمیایی، ساختار دوبعدی است<sup>۱۶</sup>. ماهیت پلیمری این ماده اجازه می دهد که در حضور نور علاوه بر انجام تحریکات چند گانه از جذب یک فوتون، ویژگی های نوری آن را نیز بهبود بخشد که این عوامل برای تخریب آلیندها مناسب هستند. Bacha با توجه به اینکه  $\text{g-C}_3\text{N}_4$  دارای مشکلاتی چون احتمال ترکیب مجدد و سریع به علت الکترون های فعال سطح آن، جداسازی و بازیافت سخت است بنابراین برای افزایش عملکرد فتوکاتالیستی  $\text{g-C}_3\text{N}_4$ ، از روش های مختلفی مانند دوب کردن عناصر فلزی و غیرفلزی یا کوپلینگ نیمه رسانا استفاده می شود. در این میان، اتصال با  $\text{Fe}_3\text{O}_4$  مغناطیسی یک استراتژی عالی برای دستیابی به کارایی بالای فتوکاتالیست، پایداری و قابلیت استفاده مجدد به خصوص در بحث تصفیه فا ضلاب است<sup>۱۸، ۱۶</sup>. همچنین نانو ذرات مغناطیسی در اثر برهم کنش های مستقیم بین ذره ای مانند نیروی واندوالس و تمایل به تجمع، تشکیل ذرات بزرگتر را می دهند که باعث

جدول ۱: مشخصات و ساختار مولکولی آفت کش ملاتیون<sup>۲۳</sup>

## ساختار مولکولی



فرمول مولکولی	جرم مولکولی	چگالی	قدرت حلایت در آب	فشار بخار	ثابت هنری	$\log K_{ow}$
$\text{C}_{10}\text{H}_{19}\text{O}_6\text{PS}_2$	۳۳۰/۳۶	۱/۲۲ g/cm <sup>3</sup>	۱۴۵ mg/L	۲۵°C mm Hg	atm m <sup>3</sup> mole <sup>-1</sup> در دمای ۲۵°C	$4/9 \times 10^{-9}$

می‌گردد.<sup>۱۸</sup>

### تعیین مشخصات فیزیکو شیمیایی کاتالیست

پس از آماده شدن  $\text{g-C}_3\text{N}_4/\text{Fe}_3\text{O}_4/\text{Ag}$  جهت تعیین مشخصات فیزیکو شیمیایی مثل فاز کریستالی از آزمایش XRD (تفرق اشعه X) در محدوده زاویه ۵-۸۰ درجه و برای تعیین حضور عناصر آهن و نقره در ساختار کاتالیزور سنتز شده از طیف‌سنجی پراکنش انرژی (EDX)، جهت تعیین مورفولوژی آن از آزمایشات میکرو سکوپ الکترونی رویشی (SEM)، برای شناسایی گروه‌های عاملی از طیف سنجی مادون قرمز (FT-IR) و طیف فوتولومینسانس (PL) استفاده می‌شود.

### انجام آزمایشات

برای انجام آزمایشات از یک راکتور شیشه‌ای به حجم یک لیتر و به منظور همگن سازی محتویات راکتور از یک همزن مکانیکی استفاده گردید. متغیرهای مورد مطالعه در این پژوهش که با استفاده از روش یک عامل در یک زمان (One Factor at a time) بهینه سازی شدند عبارتند از دوز نانوکاتالیست (۱، ۰/۷، ۰/۵، ۰/۲، ۰/۰ گرم بر لیتر)، pH (۷، ۹، ۱۱)، و غلظت دیازینون (۲۰، ۱۰، ۵ میلی گرم در لیتر) بودند. در روش One Factor at a time یک پارامتر متغیر و بقیه پارامترهای ثابت می‌باشد که در این مطالعه ابتدا pH و در ادامه دوز نانوکامپوزیت و غلظت آلاینده بهینه شدند. تعداد تکرار آزمایشات ۳ بار بوده و برای آنالیز داده‌ها از نرم افزار اکسل استفاده شد. در هر آزمایش محلول حاوی نانوکاتالیست و آلاینده در معرض لامپ UVA با توان ۱۵ w قرار گرفت. از pH هیدروکلریک اسید و سدیم هیدروکسید رقیق جهت تنظیم نمونه‌ها استفاده شد. بعد از هر با انجام آزمایش و برداشت نمونه‌ها، ابتدا نانوکامپوزیت با استفاده از آهنربای خارجی از نمونه جدا و سپس به دستگاه HPLC CECIL-CE- مدل-

## مواد و روش‌ها

### مواد شیمیایی

مواد شیمیایی مورد استفاده در این مطالعه سه ملاتیون، ملامین، نیترات نقره، کلرید فروآب، آمونیاک، ترت بو تانول، آمونیاک اگرالات، بنزوکوئینون، سدیم هیدروکسید، هیدروکلرید اسید، اتانول، متانول که از شرکت مرک خریداری شدند. برای ساخت کلیه محلول‌ها از آب دیونیزه استفاده شد.

### سنتز پودر $\text{g-C}_3\text{N}_4$

برای تهیه نیتریدکربن گرافیتی از ملامین استفاده می‌شود به‌این ترتیب که ۵ گرم از ملامین به یک بوته سرامیکی اضافه شده و در دمای ۵۵۰ درجه سلسیوس (سرعت گرمایش ۵ درجه سلسیوس در هر دقیقه) به مدت ۴ ساعت گذاشته می‌شود، بعد از اتمام زمان در دمای اتاق خنک می‌گردد.

### آماده‌سازی نانو کامپوزیت

نانو کاتالیست  $\text{g-C}_3\text{N}_4/\text{Fe}_3\text{O}_4/\text{Ag}$  با روش هیدروترمال یک مرحله‌ای تهیه می‌شود. ابتدا ۵۰ میلی گرم از نیترید کربن گرافیتی سنتز شده به ۳۰ mL از آب مقطر اضافه شده و با استفاده از التراسونیک برای مدت ۱ ساعت حل می‌گردد. سپس ۰/۵ گرم کلرید فروآب، ۲۵ میلی گرم نیترات نقره و ۱/۰ گرم پلی وینیل پیرولیدون اضافه شده و به مدت ۳ ساعت هم زده می‌شود. تحت شرایط اختلاط ۲/۵ میلی لیتر آمونیاک تزریق و به مدت ۱۰ دقیقه به شدت هم زده می‌شود (به‌منظور اکسید شدن آهن دو ظرفیتی). سوسبانسیون حاصله به یک سل تفلونی ۵۰ میلی لیتری انتقال و در اتوکلاو برای مدت ۳ ساعت و در دمای ۱۴۰ درجه سلسیوس قرار می‌گیرد، پس از اتمام این زمان در هوای اتاق خنک گردیده و محصول به دست آمده فیلتر و سپس با آب و اتانول شسته می‌شود. سپس در دمای ۸۰ درجه سلسیوس به مدت ۱۲ ساعت خشک

طبق روش استاندارد A 5310 TOC انجام شد. راندمان حذف توسط معادله زیر محاسبه شد.

$$TOC\ Removal\ (\%) = \frac{TOC_0 - TOC_t}{TOC_0} \times 100$$

TOC<sub>0</sub> اولیه TOC<sub>t</sub> نهایی

4900، با دتکتور UV/Vis-CE-4900 و دارای سنتون C18 (250 mm × 4.6 mm × 5 μm) و نسبت آب:استونیتریل، ۷۰:۳۰ و طول موج ۲۱۰ نانومتر تزریق شد. برای محاسبه غلظت مالاتیون باقی مانده از معادله زیر استفاده شد.

$$Removal\ (\%) = \frac{C_0 - C_t}{C_0} \times 100$$

C<sub>0</sub>: غلظت اولیه مالاتیون

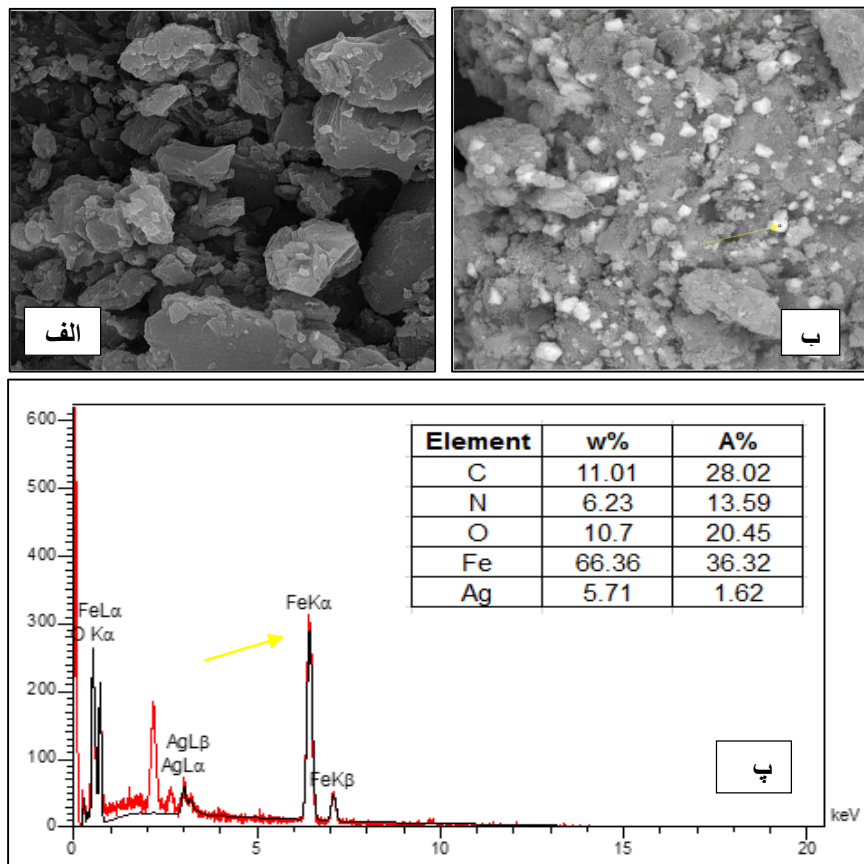
C<sub>t</sub>: غلظت نهایی مالاتیون

## یافته‌ها

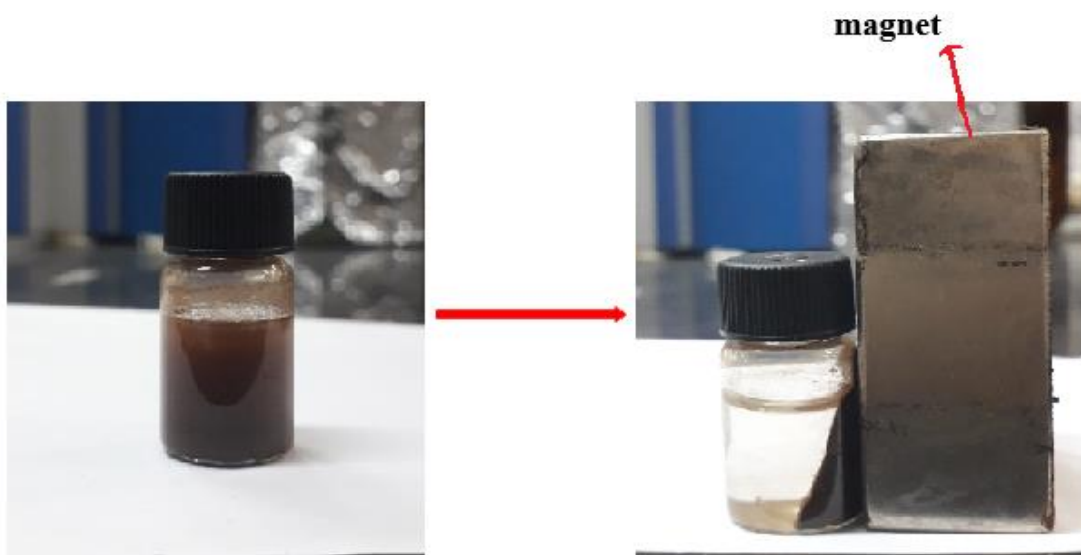
### نتایج مربوط به ویژگی‌های نانوکامپوزیت

از آنالیز SEM برای شناسایی مورفولوژی نانوکاتالیست سنتز شده استفاده شد.

**میزان معدنی سازی (TOC)** (Total Organic Carbon) آزمایش TOC توسط آنالایزر 3100 (Multi N / C, TOC analyzer, German) برای تعیین میزان معدنی سازی



شکل ۱: تصویر SEM از g-C<sub>3</sub>N<sub>4</sub> خالص(الف)، تصویر SEM از نانوکامپوزیت Ag(g-C<sub>3</sub>N<sub>4</sub>/Fe<sub>3</sub>O<sub>4</sub>/Ag)(ب)، طیف EDX نانوکامپوزیت g-C<sub>3</sub>N<sub>4</sub>/Fe<sub>3</sub>O<sub>4</sub>/Ag(ب).



شکل ۲: خاصیت مغناطیسی نانوکامپوزیت  $g\text{-C}_3\text{N}_4/\text{Fe}_3\text{O}_4/\text{Ag}$

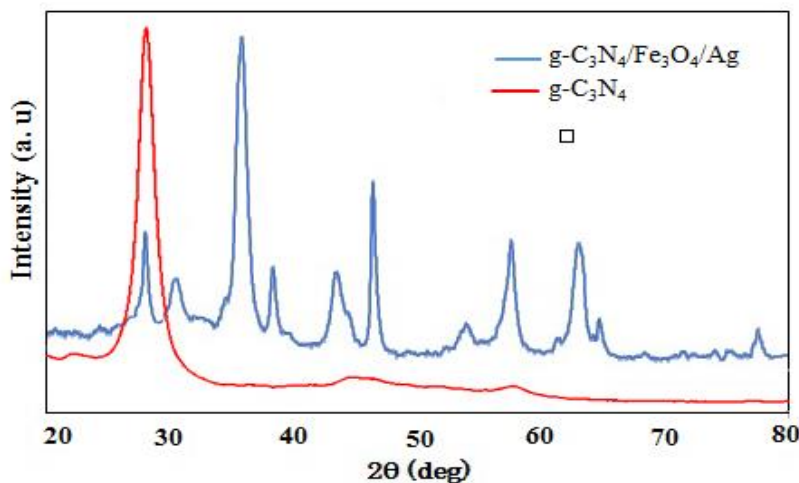
، (۳۱۱) ، (۴۰۰) ، (۴۲۲) ، (۵۱۱)، (۴۴۰) است که با نتایج مطالعات قبلی مطابقت دارد.<sup>۲۴, ۱۵</sup> در این آنالیز، شدت پیک  $g\text{-C}_3\text{N}_4$  در نانوکامپوزیت در مقایسه با  $g\text{-C}_3\text{N}_4$  خالص به دلیل کاهش تجمع  $g\text{-C}_3\text{N}_4$  و وجود  $\text{Fe}_3\text{O}_4$  در ساختار نانوکامپوزیت کاهش یافته است. علاوه بر این، پیک‌های ۳۸، ۶۴/۲، ۴۴/۴ و ۷۷/۴ مربوط به پلن‌های (۱۱۱)، (۲۰۰)، (۲۲۰) و (۳۱۱) هستند که نشان دهنده حضور نقره در ساختار نانوکامپوزیت است.<sup>۲۶, ۲۵</sup>

از آنالیز FT-IR برای شناسایی پیوند‌های شیمیایی در نانوکامپوزیت استفاده شد. شکل ۴ نتایج آنالیز FT-IR مربوط به  $g\text{-C}_3\text{N}_4$  و  $g\text{-C}_3\text{N}_4/\text{Fe}_3\text{O}_4/\text{Ag}$  را در دامنه  $3900\text{--}400\text{ cm}^{-1}$  در جذب گسترده‌ای از ۳۰۰۰ تا ۳۴۰۰ است که حالت‌های کششی ( $\text{-NH}_2$ ) و ( $\text{-NH}_3^+$ ) را نشان می‌دهد. پیک  $1251\text{ cm}^{-1}$ ،  $1419\text{ cm}^{-1}$ ،  $1325\text{ cm}^{-1}$ ،  $1463\text{ cm}^{-1}$  و  $1575\text{ cm}^{-1}$  مربوط به پیوند‌های ( $\text{C-N}$ ) و ( $\text{C=C}$ ) می‌باشد. علاوه بر این، پیک نشان داده شده در  $808\text{ cm}^{-1}$  مربوط به واحدهای triazine است و باند گسترده  $\text{O}-\text{Fe}-\text{O}$  در محدوده  $650\text{--}430\text{ cm}^{-1}$  می‌باشد.<sup>۲۷, ۲۰</sup>

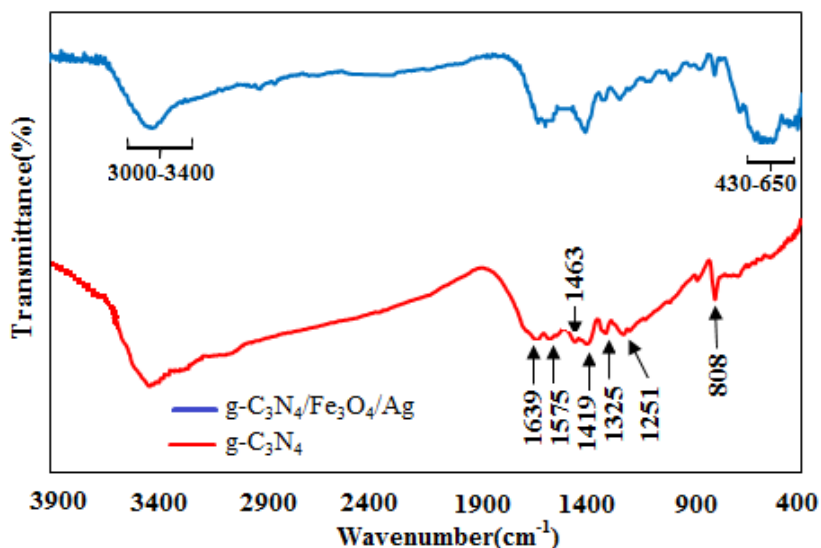
همانطور که از شکل ۱ مشهود است  $g\text{-C}_3\text{N}_4$  دارای که ساختار ورقه‌ای نامنظم است. شکل ۱ توزیع  $\text{Fe}_3\text{O}_4/\text{Ag}$  روی ساختار  $g\text{-C}_3\text{N}_4$  را نشان داده است که توسط فلش نشان داده شده است. از آنالیز EDX برای شناسایی مواد معدنی موجود در ساختار یک نمونه استفاده می‌شود. نتایج آنالیز EDX هم حضور  $\text{C, N, O, Fe, Ag}$  را در ساختار نانوکامپوزیت نشان می‌دهد.

خاصیت مغناطیسی نانوکامپوزیت  $g\text{-C}_3\text{N}_4/\text{Fe}_3\text{O}_4/\text{Ag}$  در شکل ۲ نشان داده شده است. با توجه به شکل هنگامی که محلول حاوی نانوکامپوزیت در مجاورت آهنربا قرار گرفت نانوکامپوزیت به طور کامل از فاز محلول جدا شد که نشان دهنده خاصیت مغناطیسی بالای نانوکامپوزیت  $g\text{-C}_3\text{N}_4/\text{Fe}_3\text{O}_4/\text{Ag}$  می‌باشد.

الگوی پراش پرتو X (XRD)  $g\text{-C}_3\text{N}_4$  خالص در ۲۰-۲۰ درجه در شکل ۳ نشان داده شده است. به طور کلی، پیک قوی مشاهده شده برای  $g\text{-C}_3\text{N}_4$  خالص مطابق با پلن آنالیز  $\text{Fe}_3\text{O}_4$ ،  $g\text{-C}_3\text{N}_4/\text{Fe}_3\text{O}_4/\text{Ag}$  دارای پیک‌های ۳۰/۲، ۰۰/۲ و نشان دهنده یک ترکیب آروماتیک است. در الگوی آنالیز  $g\text{-C}_3\text{N}_4/\text{Fe}_3\text{O}_4/\text{Ag}$  پیک‌های ۴۳/۵، ۵۳/۷، ۵۷/۳ و ۶۲/۷ مربوط به پلن‌های (۲۲۰)، (۳۵/۸)



شکل ۳: آنالیز XRD از نمونه‌های g-C<sub>3</sub>N<sub>4</sub>/Fe<sub>3</sub>O<sub>4</sub>/Ag خالص و نانوکامپوزیت



شکل ۴: آنالیز FT-IR برای نمونه‌های g-C<sub>3</sub>N<sub>4</sub> خالص و نانوکامپوزیت g-C<sub>3</sub>N<sub>4</sub>/Fe<sub>3</sub>O<sub>4</sub>/Ag

همانطور که از شکل دیده می‌شود پیک انتشار g-C<sub>3</sub>N<sub>4</sub> یک پیک انتشار بسیار قوی است. در حالی که g-C<sub>3</sub>N<sub>4</sub>/Fe<sub>3</sub>O<sub>4</sub>/Ag دارای پیک انتشار پایینی است و شدت آن کاهش یافته است. شدت PL پایین تر، با هدایت الکتریکی خوب کارآمد از باند هدایت g-C<sub>3</sub>N<sub>4</sub> به سمت Fe<sub>3</sub>O<sub>4</sub> و Ag مرتبط است که باعث انتقال الکترونی سطحی

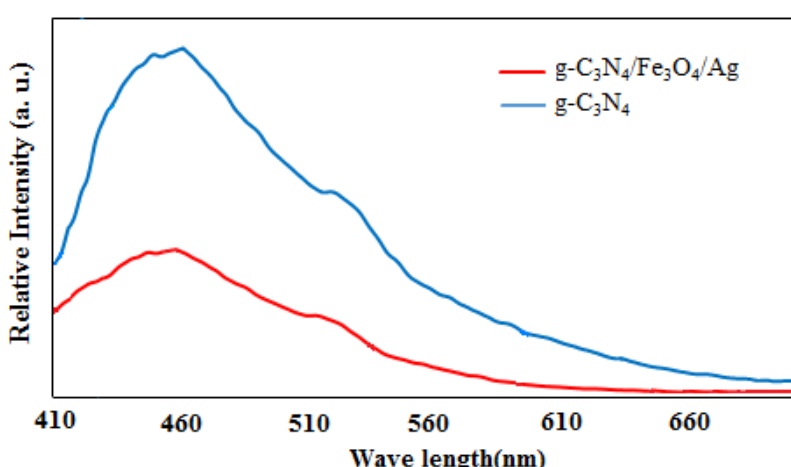
فرآیند انتقال و نوترکیبی جفت‌های الکترون حفره نقش مهمی را در فعالیت‌های فتوکاتالیستی بازی می‌کند جداسازی کارآمد حامل‌های شارژ می‌تواند فعالیت فتوکاتالیستی را بهبود بخشد از همین رو از طیف لومینسانس (PL) به طور گستردۀ ای برای بررسی انتقال و نوترکیبی جفت‌های الکترون حفره استفاده می‌شود. طیف PL در شکل ۵ نشان داده شده است.

بر لیتر نشان داده شده است. همانطور که نشان داده شده است با افزایش pH از ۳ به ۵ و سپس ۷ در زمان ۹۰ دقیقه راندمان حذف از ۲۲/۳۲٪ به ۵۱/۶۵٪ و سپس ۱۰۰٪ افزایش می‌یابد. اما هنگامی که pH از ۷ به سمت ۱۱ می‌رود راندمان حذف به ۵۴/۶۵٪ کاهش می‌یابد. با این حال راندمان حذف ملاتیون در شرایط خنثی و pH قلیایی نسبت به pH اسیدی بیشتر بوده است. بنابراین بیشترین و کمترین راندمان‌های حذف در pHهای ۷ و ۳ مشاهده شد

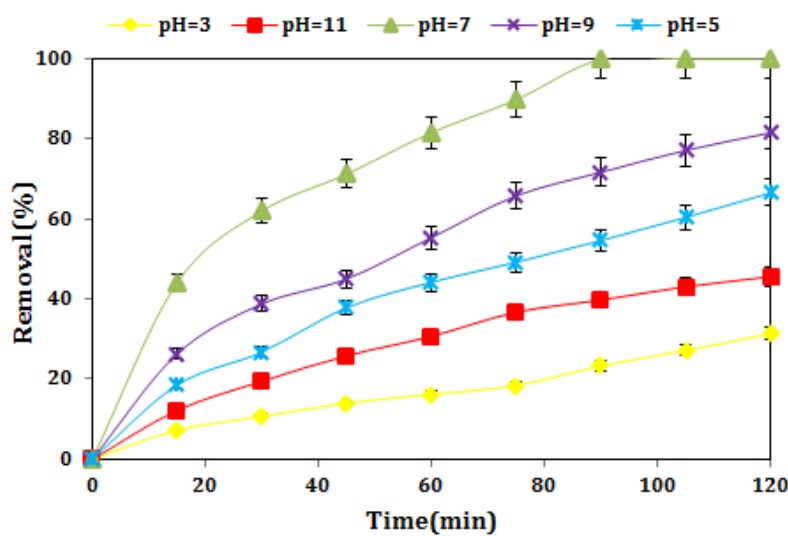
مانع از نوترکیبی حامل‌های بار شده و باعث بهبود فعالیت فتوکاتالیستی می‌شود. یافته‌های حاصل از PL با نتایج حاصل از آزمایشات فتوکاتالیست هم خوانی دارد.<sup>۲۸,۲۰</sup>

### تأثیر pH

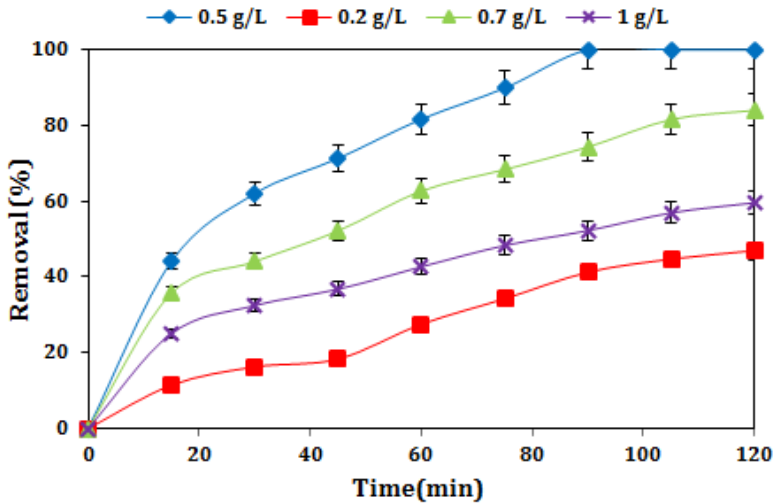
در شکل ۶ تأثیر pH بر راندمان حذف ملاتیون با استفاده از نانوکامپوزیت  $g\text{-C}_3\text{N}_4/\text{Fe}_3\text{O}_4/\text{Ag}$  در محدوده pH ۳ تا ۱۱، دوز کاتالیست ۰/۵ گرم بر لیتر و غلظت اولیه ۱۰ میلی‌گرم



شکل ۵: آنالیز PL برای نمونه‌های  $g\text{-C}_3\text{N}_4$  خالص و نانوکامپوزیت  $g\text{-C}_3\text{N}_4/\text{Fe}_3\text{O}_4/\text{Ag}$



شکل ۶: تأثیر pH اولیه بر تخریب فتوکاتالیستی ملاتیون (pH=۷، دوز ۰/۵ گرم بر لیتر، غلظت آلتینه ۱۰ میلی‌گرم بر لیتر)



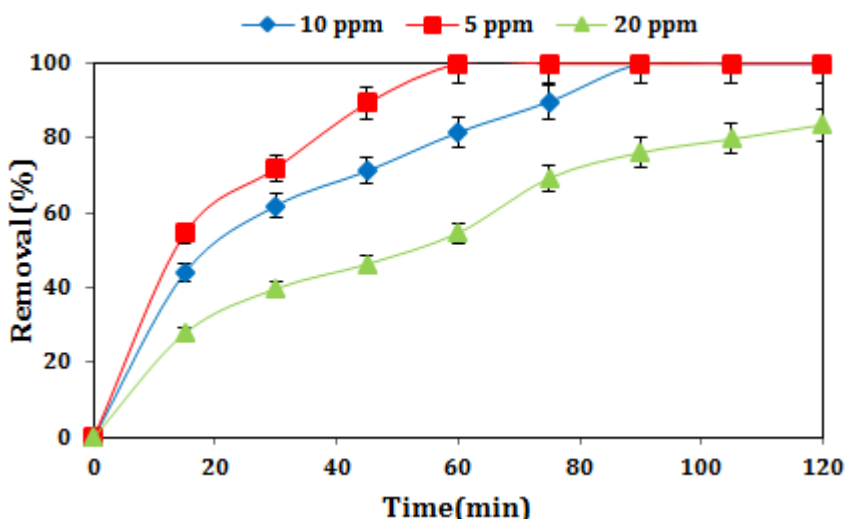
شکل ۷: تاثیر دوز نانوکامپوزیت بر تخریب فتوکاتالیستی مالاتیون ( $pH=7$ ، دوز  $0.5$  گرم بر لیتر، غلظت آلاینده  $10$  میلی گرم بر لیتر)

### تاثیر دوز نانوکامپوزیت

#### تاثیر غلظت آلاینده

شکل ۸ اثر غلظت اولیه دیازینون را بر راندمان حذف در غلظت  $5$ ،  $10$ ،  $20$  میلی گرم در لیتر در دوز بهینه  $0.5$  گرم در لیتر و  $pH=7$  نشان می‌دهد. نتایج نشان داد که با افزایش غلظت مالاتیون از  $5$  به  $20$  میلی گرم بر لیتر راندمان حذف مربوطه از  $100\%$  به  $54/71\%$  کاهش یافته است.

تاثیر دوز جاذب بر راندمان حذف مالاتیون در دوزهای  $0/2$ ،  $0/5$  و  $1$  گرم در لیتر در  $pH=7$  و غلظت اولیه دیازینون  $10$  میلی گرم در لیتر در شکل ۶ نشان داده شده است. نتایج نشان داد که با افزایش دوز از  $0/2$  به  $0/5$  گرم در لیتر راندمان حذف افزایش می‌یابد. اما با افزایش دوز کاتالیست تا  $1$  گرم در لیتر راندمان حذف کاهش یافته است.



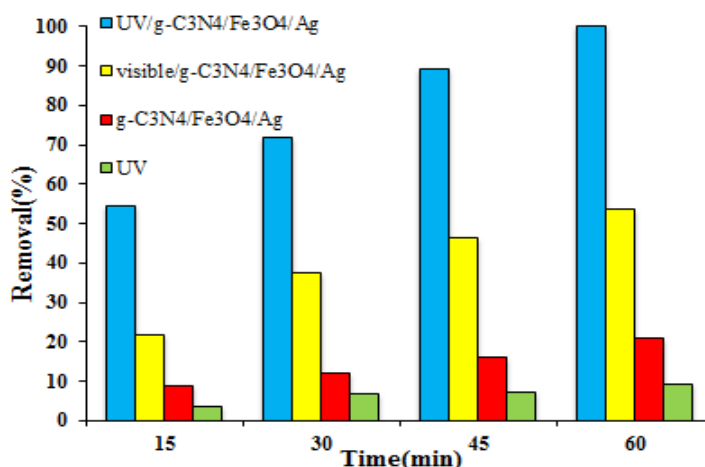
شکل ۸: تاثیر غلظت آلاینده بر تخریب فتوکاتالیستی مالاتیون ( $pH=7$ ، دوز  $0.5$  گرم بر لیتر، غلظت آلاینده  $10$  میلی گرم بر لیتر)

### اثر رادیکال خوارها

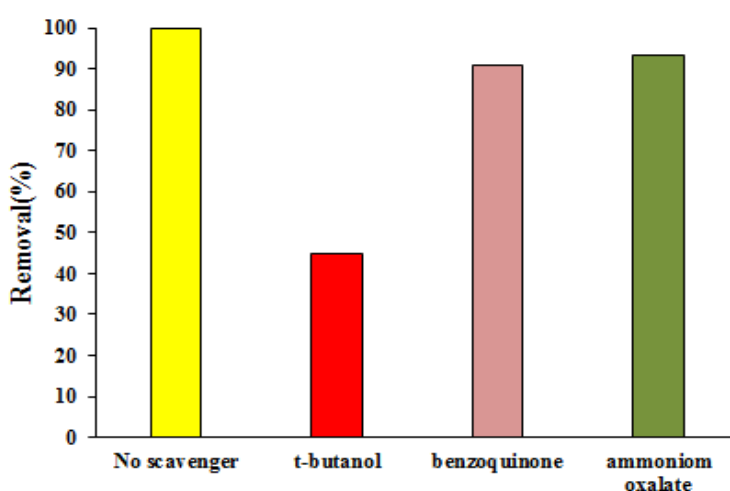
در این مطالعه اثر سه اسکونجر اگزالت آمونیوم، ترت بوتانول و بنزوکینون بر راندمان حذف مالاتیون در شرایط بهینه سنجیده شد. اگزالت آمونیوم، ترت بوتانول و بنزوکینون به ترتیب برای کنترل حفره ها ( $\text{h}^+$ ), رادیکال های هیدروکسیل ( $\text{OH}^-$ ) و رادیکال های سوپراکسید ( $\text{O}_2^-$ ) استفاده شدند. راندمان حذف مالاتیون در حضور سه رادیکال خوار اگزالت آمونیوم، ترت بوتانول و بنزوکینون به ترتیب ۹۳/۳۶٪، ۴۴/۷۸٪ و ۹۰/۷۱٪ می باشد.

### مقایسه فرآیندهای مختلف

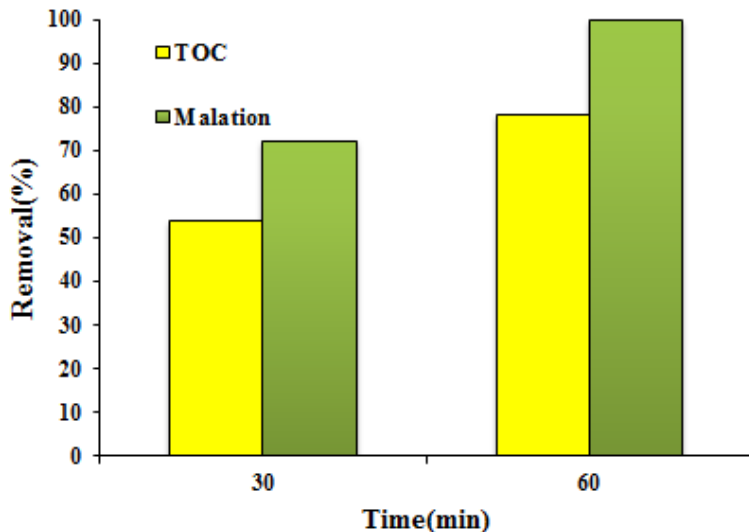
در شرایط بهینه، راندمان حذف مالاتیون با استفاده از فرآیندهای مختلف  $\text{UV/g-C}_3\text{N}_4/\text{Fe}_3\text{O}_4/\text{Ag}$ ،  $\text{visible light/g-C}_3\text{N}_4/\text{Fe}_3\text{O}_4/\text{Ag}$ ،  $\text{g-C}_3\text{N}_4/\text{Fe}_3\text{O}_4/\text{Ag}$  به تهایی و UV به تهایی، ارزیابی و مقایسه شدند. راندمان حذف مالاتیون در شرایط مختلف به ترتیب ۱۰۰٪، ۵۳/۶۸٪، ۲۰/۸۹٪ و ۹/۲۶٪ می باشد.



شکل ۹: مقایسه فرآیندهای مختلف بر تحریب فتوکاتالیستی مالاتیون (pH=۷)، دوز ۰/۵ گرم بر لیتر، غلظت آلتینه ۱۰ میلی گرم بر لیتر)



شکل ۱۰: اثر رادیکال خوارها بر تحریب فتوکاتالیستی مالاتیون (pH=۷)، دوز ۰/۵ گرم بر لیتر، غلظت آلتینه ۱۰ میلی گرم بر لیتر)



شکل ۱۱: میزان معدنی سازی در طی فرایند فتوکاتالیستی تخریب مالاتیون( $\text{pH}=7$ ، دوز  $0/5$  گرم بر لیتر، غلظت آلاینده  $10$  میلی گرم بر لیتر)

می شود. با توجه به این که  $\text{pH}$  بهینه  $7$  به دست آمد بنابراین جاذبه الکترواستاتیک مطلوب بین سطح دارای بار مثبت و مالاتیون با بار الکترواستاتیکی منفی ایجاد شده که سبب افزایش میزان حذف می شود<sup>۳</sup>. دلیل بالاتر بودن راندمان حذف با افزایش  $\text{pH}$  را می توان به افزایش مقدار رادیکال های  $\text{OH}^-$  در شرایط خشی و قلیایی نسبت داد<sup>29,30</sup>. نتایج مطالعه Ramos-Delgado و همکاران(۲۰۱۳) نشان داد که بالاترین راندمان حذف مالاتیون( $100\%$ ) در  $\text{pH} 7$  بوده که دلیل این اثر را می توان به حضور سطوح بالاتر گروه های هیدروکسیل در محلول در  $\text{pH} 7$  نسبت به  $\text{pH} 4$  نسبت داد که منجر به تولید بیشتر رادیکال های  $\text{OH}^-$  می شود<sup>۳۱</sup>. هم چنان بر طبق گزارشات سومون ارگانوفسفره در محیط اسیدی پایدار بوده و نسبت به تجزیه مقاوم هستند این در حالی است که در محیط های خشی و قلیایی به خوبی تجزیه می شوند<sup>۳</sup>.

### تأثیر دوز نانوکامپوزیت

نتایج نشان داد که با افزایش دوز نانوکامپوزیت از  $0/2$  به

**میزان معدنی سازی**  
حذف TOC در فرآیند فتوکاتالیستی توسط  $\text{g-C}_3\text{N}_4/\text{Fe}_3\text{O}_4/\text{Ag}$  پس از  $30$  دقیقه و  $60$  دقیقه اندازه گیری شد. نتایج در شکل ۱۱ نشان داده شده است. میزان حذف TOC پس از  $30$  و  $60$  دقیقه به ترتیب  $50/67$  و  $80/88$  درصد بود.

### بحث

#### تأثیر $\text{pH}$

$\text{pH}$  اولیه یکی از پارامترهای موثر در فرآیندهای فتوکاتالیستی می باشد. نتایج تأثیر  $\text{pH}$  در شکل ۵ نشان داده شده است. علت بالا بودن راندمان حذف در  $\text{pH}$  بهینه  $7$  را می توان این گونه توجیح کرد که از انجایی که مقدار  $\text{pKa}$  برای مالاتیون  $6/8$  می باشد. بنابراین در  $\text{pH}$  بالاتر از  $6/8$  بار الکترواستاتیکی منفی است و هم چنان  $\text{pH}_{zpc}$  برای نانوکامپوزیت  $\text{g-C}_3\text{N}_4/\text{Fe}_3\text{O}_4/\text{Ag}$   $7/8$  به دست آمد که در  $\text{pH}$   $7/8$  ن نقطه سطح نانوکامپوزیت دارای بار مثبت پایین تر از این

گرم بر لیتر راندمان حذف از ۷۰٪ به ۹۱/۵٪ رسیده است.<sup>۳۷</sup>

### مقایسه فرآیندهای مختلف

نتایج حاصل از هم افزایی فرآیندهای فتوکاتالیستی در حضور اشعه UV، فتوکاتالیست در حضور نور مرئی، اشعه UV به تنها بی و حضور کاتالیست در شرایط تاریکی بر کارایی UV حذف ملاتیون نشان می دهد که بالاترین اثر هم افزایی به ترتیب در فرآیندهای فتوکاتالیستی در حضور اشعه UV، فتوکاتالیستی در حضور نور مرئی، حضور کاتالیست در شرایط تاریکی و اشعه UV به تنها است. ترکیب چندین فرآیند اکسیدا سیون پی شرفته با تولید رادیکال هیدروکسیل و عوامل واکنشگر بیشتر سبب تجزیه بالاتر آلاینده نسبت به هر فرآیند به تنها می شود. در فرآیند فتوکاتالیستی تهییج کاتالیست توسط اشعه UV با ایجاد جفت الکترون-حفره بر سطح کاتالیست باعث بیشترین عوامل فعال در فرآیند می شود.<sup>۳۸</sup> تشكیل رادیکالهای هیدروکسیل و سوپراکساید و خود حفره عوامل اکسید کننده قوی برای تجزیه آلاینده و علت بالا بودن راندمان حذف نانوکامپوزیت در حضور اشعه UV می باشد.<sup>۳۹</sup>

### اثر رادیکال خوارها

در این مطالعه اثر سه اسکونجر اگزالت آمونیوم، ترت بوتانول و بنزوکینون بر راندمان حذف ملاتیون در شرایط بهینه سنجیده شد. اگزالت آمونیوم ، ترت بوتانول و بنزوکینون به ترتیب برای کنترل حفره ها ( $\text{h}^+$ )، رادیکالهای هیدروکسیل ( $\text{OH}^-$ ) و رادیکالهای سوپراکسید ( $\text{O}_2^-$ ) استفاده شدند. تجزیه ملاتیون ممکن است به طور مستقیم توسط  $\text{h}^+$  تولید شده تحت تابش نور، انجام گیرد. به این صورت که حفره برای رسیدن به پایداری، الکترون مورد نیاز خود را از ملاتیون گرفته و همزمان با رسیدن به پایداری باعث تخریب و حذف ملاتیون از محیط واکنش شود. برای بررسی اینکه واکنش حذف با این مکانیسم پیش می رود، واکنش تخریب در حضور

۰/۵ گرم بر لیتر راندمان حذف افزایش می یابد که علت آن ممکن است افزایش سایت های فعال در دوز بالاتر باشد. اما با افزایش دوز کاتالیست از ۰/۵ تا ۱ گرم بر لیتر راندمان حذف کاهش یافته است. که دلیل آن را می توان به این عامل نسبت داد که افزایش دوز نانوکامپوزیت باعث ایجاد کدورت شده که مانع از رسیدن نور به سطوح فعال نانوکامپوزیت ها می شود.<sup>۳۲</sup> هم چنین در مطالعه ای که توسط Mu. Naushad و همکاران (۲۰۱۴) انجام گرفت نشان داد که هنگامی که دوز کاتالیست از ۰/۱ گرم بر لیتر راندمان از ۹۶٪ به ۷۲٪ کاهش یافت که علت آن را می توان به این عامل نسبت داد که افزایش دوز نانوکامپوزیت باعث بالا رفتن تراکم ذرات شده که این عامل باعث کاهش سطوح فعال نانوکامپوزیت ها و در نتیجه کاهش تولید رادیکال ها و به دنبال آن کاهش راندمان حذف می شود.<sup>۳۳</sup> هم چنین نتایج مطالعه دهقانی و همکاران (۲۰۱۷) نشان داد با افزایش دوز نانوکامپوزیت از ۰/۵ به ۰/۱ گرم بر لیتر راندمان حذف ملاتیون به ۱۰۰٪ افزایش یافت<sup>۳۴</sup> که با نتایج مطالعه حاضر مطابقت دارد.

### تأثیر غلظت ملاتیون

نتایج نشان داد با افزایش غلظت آلاینده راندمان حذف کاهش می یابد. روند نزولی در راندمان حذف را می توان به این واقعیت نسبت داد که افزایش غلظت ملاتیون در محیط آبی سبب جذب بیشتر فوتون های نوری شده و از رسیدن این فوتون های نوری به سطح کاتالیست جلوگیری به عمل می آورد و به دنبال آن راندمان حذف کاهش می یابد.<sup>۳۵</sup> مطالعه ای که Qian Zhang و همکاران (۲۰۱۳) انجام گرفت علت کاهش راندمان با افزایش غلظت ملاتیون از ۵ میلی گرم تا ۲۵ میلی گرم بر لیتر را کاهش تولید رادیکال ها ( $\text{OH}^-$ ) در سطح کاتالیزور است زیرا مکان های فعال توسط مولکول های آلاینده پوشانده می شوند.<sup>۳۶</sup> هم چنین مطالعه Nadan و همکاران (۲۰۱۶) نشان داد با افزایش غلظت ملاتیون از ۲ به ۶ میلی

مالاتیون است. اگر واکنش با مکانیسم سوم پیش رود، در حضور این ماده تخریب مالاتیون کمتر بوده و راندمان حذف کمتری حاصل می شود<sup>43</sup>. راندمان حذف مالاتیون در حضور سه رادیکال خوار اگزالت آمونیوم ، ترت بوتانول و بنزوکینون به ترتیب ۹۳/۳۶٪، ۴۴/۷۸٪ و ۹۰/۷۱٪ می باشد. با توجه به نتایج به دست آمده در حضور ترت بوتانول کمترین راندمان حذف مشاهده شده که می توان به این نتیجه رسید که رادیکال OH<sup>−</sup> مکانیسم حذف مالاتیون را کترل می کند.

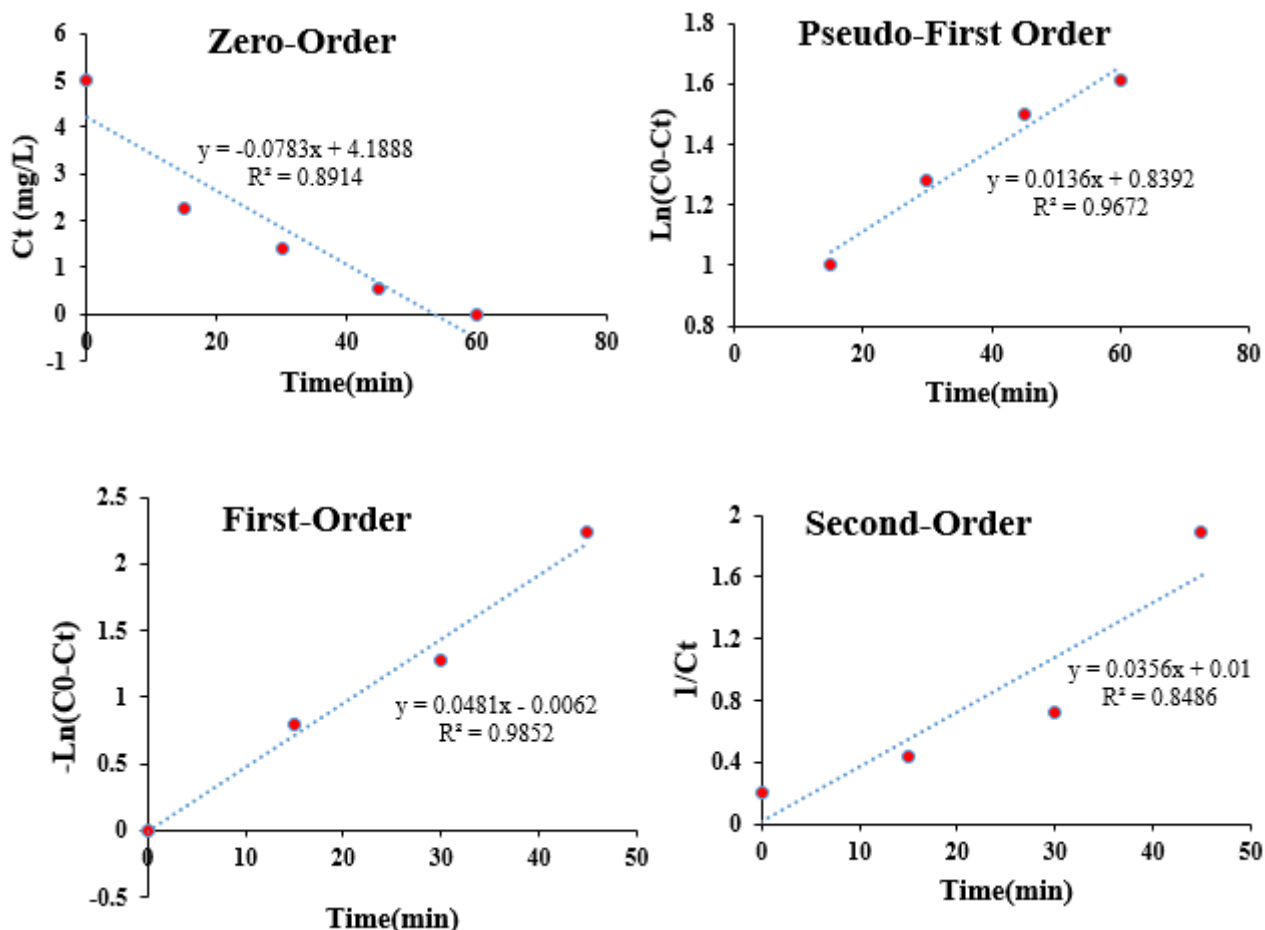
### سینتیک واکنش

در این مطالعه به منظور بررسی رفتار واکنش حذف فتوکاتالیستی در حضور اشعه UV داده های به دست آمده در شرایط بهینه (غلظت مالاتیون ۱۰ میلی گرم بر لیتر، دوز کاتالیست ۰/۵ گرم بر لیتر، pH = ۷) تا زمان ۶۰ دقیقه از مدل های واکنش، درجه صفر، درجه اول کاذب و درجه دوم استفاده گردید. معادلات مربوط به سینتیک در جدول ۲ نشان داده شده است. در این نمودارها C<sub>0</sub> غلظت آلاینده در زمان t ثابت آلاینده در زمان صفر و C<sub>t</sub> غلظت آلاینده در زمان t، سرعت واکنش و t زمان بر حسب دقیقه است. بر طبق نتایج شکل ۱۰ سینتیک حذف مالاتیون از مدل درجه اول پیروی می کند زیرا ضریب رگرسیون بالاتری نسبت به بقیه مدل های سینتیک دارد (R<sup>2</sup> = ۰/۹۸۵۲).

آمونیوم اگزالت انجام شد. اگر چنانچه واکنش با این مکانیسم پیش روی، حضور آمونیوم اگزالت باعث کاهش راندمان حذف خواهد شد. زیرا حضور این ماده باعث می شود h<sup>+</sup> الکترون خود را به جای مالاتیون از آمونیوم اگزالت گرفته و در نتیجه راندمان حذف آن کاهش یابد<sup>44</sup>. در مورد بعدی h<sup>+</sup> الکترون مورد نیاز برای پایدار شدن را از H<sub>2</sub>O و OH<sup>−</sup> های موجود در محیط واکنش دریافت کرده و منجر به تولید رادیکال هیدروکسیل (OH<sup>−</sup>) در محیط واکنش می شود. رادیکال OH<sup>−</sup> بسیار اکسنده و ناپایدارند و برای رسیدن به پایداری الکترون خود را از مالاتیون گرفته و موجب حذف و تخریب این آلاینده می گردد. حال اگر ماده های همانند ترت بوتانول در محیط واکنش حضور داشته باشد که تمایل رادیکالهای OH<sup>−</sup> برای واکنش با آن بیشتر از تمایل برای واکنش با مالاتیون باشد، رادیکال OH<sup>−</sup> به جای واکنش با مالاتیون با ترت بوتانول واکنش می دهد و در نتیجه راندمان حذف کاهش می یابد<sup>45</sup>. در رادیکال خوار بعدی الکترون های جدا شده از باند ظرفیت، با O<sub>2</sub> موجود در محیط، واکنش داده و در نهایت منجر به تولید رادیکال O<sub>2</sub><sup>−</sup> می شوند. رادیکال O<sub>2</sub><sup>−</sup> برای رسیدن به پایداری الکترون خود را از مالاتیون گرفته و موجب حذف این آلاینده می شود. برای بررسی این مکانیسم، واکنش را در حضور بنزوکینون انجام می دهن. قبل از مالاتیون بارادیکال O<sub>2</sub><sup>−</sup> وارد واکنش می شود و به عبارتی تمایل آن برای واکنش با رادیکال O<sub>2</sub><sup>−</sup> بیشتر از

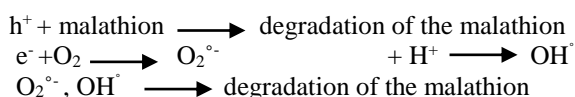
جدول ۲: معادلات واکنش های درجه صفر، شبه درجه اول، درجه اول و درجه دوم

Kinetic models	Formula
Zero-order	C <sub>0</sub> -C <sub>t</sub> = k.t
First-order	Ln(C <sub>0</sub> /C <sub>t</sub> ) = k.t
Pseudo-First Order	Ln(C <sub>0</sub> -C <sub>t</sub> ) = Ln C <sub>0</sub> - k.t
Second-order	1/C <sub>t</sub> - 1/C <sub>0</sub> = k.t



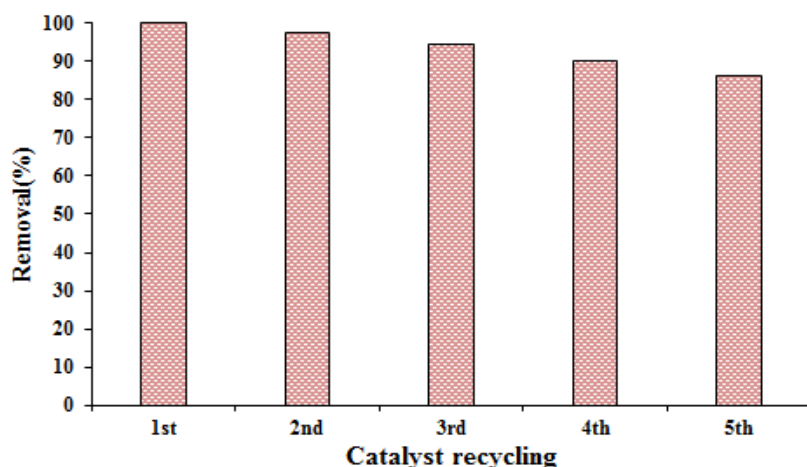
شکل ۱۲: سینتیک واکنش حذف فتوکاتالیستی ملاتیون در شرایط بهینه ( $\text{pH}=7$ , دوز  $0.5 \text{ g}$  بر لیتر، غلظت آلانینه  $10 \text{ میلی g}$  بر لیتر)

کل سیستم فتوکاتالیستی بهبود می‌بخشد. در مرحله بعد، الکترون‌های تولید شده با  $\text{O}_2^-$  جذب شده بر روی نانوذرات Ag برای تولید رادیکال‌های فعال  $\text{O}_2^{\cdot-}$  واکنش نشان می‌دهند. هم چنین  $\text{O}_2^{\cdot-}$  ممکن است با  $\text{H}^+$  واکنش نشان دهد و رادیکال‌های  $\text{OH}^{\cdot-}$  را تولید کند که هم  $\text{O}_2^{\cdot-}$  و هم  $\text{OH}^{\cdot-}$  می‌توانند باعث تجزیه ملاتیون شوند. هم چنین حفره‌های ایجاد شده در  $\text{g-C}_3\text{N}_4$  می‌توانند مستقیماً ملاتیون را تجزیه کنند.



### mekanisim frāynd ftoekatalistī

در مرحله اول، هنگامی که  $\text{g-C}_3\text{N}_4$  در معرض نور قرار می‌گیرد، الکترون‌های موجود در باند هدایت به  $\text{Fe}_3\text{O}_4$  منتقل می‌شوند و از آن جایی که  $\text{Fe}_3\text{O}_4$  دارای هدایت الکتریکی خوبی است به سرعت این الکترون‌ها را به Ag (ظرفیت ذخیره سازی مناسب) منتقل می‌کنند. نانوذرات Ag به عنوان پذیرنده نهایی الکtron عمل می‌کنند که هم طول عمر الکترون‌های تولید شده را افزایش می‌دهند و هم فرایند جدا سازی بار را در



شکل ۱۳: بازیابی نانوکامپوزیت g-C<sub>3</sub>N<sub>4</sub>/Fe<sub>3</sub>O<sub>4</sub>/Ag در شرایط بهینه (pH=۷، دوز ۰/۵ گرم بر لیتر، غلظت آلاینده ۱۰ میلی گرم بر لیتر)

است.

### مقایسه فرآیند های مختلف فتوکاتالیستی در حذف آفت کش ملاتریون

در جدول ۳ فرآیند فتوکاتالیستی g-C<sub>3</sub>N<sub>4</sub>/Fe<sub>3</sub>O<sub>4</sub>/Ag در حضور اشعه UV با سایر مطالعات مقایسه شده است. این مطالعه نشان می دهد که نانوکامپوزیت g-C<sub>3</sub>N<sub>4</sub>/Fe<sub>3</sub>O<sub>4</sub>/Ag یک کاتالیست مناسب برای تخریب فتوکاتالیستی ملاتریون می باشد چون در مقایسه با فرآیندهای دیگر دارای کمترین زمان برای تخریب آلاینده با بیشترین راندمان حذف و مقدار بالای معدنی سازی می باشد.

### بازیابی نانوکامپوزیت

به منظور بازیابی و استفاده مجدد از نانوکامپوزیت g-C<sub>3</sub>N<sub>4</sub>/Fe<sub>3</sub>O<sub>4</sub>/Ag در شرایط بهینه آزمایش تا ۵ بار تکرار شد. پس از کامل شدن واکنش نانوکامپوزیت توسط آهنربا از محیط واکنش جدا و با اتانول شسته شد سپس به منظور خشک شدن در فور قرار گرفت. سپس نانوکامپوزیت خشک شده در شرایط بهینه مجدداً مورد استفاده قرار گرفت و این کار تا ۵ بار تکرار شد که نتیجه به دست آمده در شکل ۱۳ نشان داده شده است. نتایج نشان می دهد این نانوکامپوزیت به راحتی قابل بازیافت بوده و بدون کاهش چشمگیری در راندمان حذف می تواند تا چند بار متوالی مجدداً استفاده گردد به طوری که راندمان حذف بعد از ۵ با تکرار در حدود ۱۴٪ کاهش یافته

جدول ۳: مقایسه فرآیند های فتوکاتالیستی مختلف در حذف آفت کش ملاتریون

فرآیند	راندمان حذف	میزان معدنی سازی	سرعت تجزیه(min)	مطالعه
UV/ZnO	% ۹۵/۶۸	-	۱۸۰	Dehghan و همکاران <sup>۴۴</sup>
UV/Pt-TiO <sub>2</sub>	% ۱۰۰	-	۷۰	ZHANG و همکاران <sup>۳۶</sup>
UV/Au-Pd-TiO <sub>2</sub>	% ۹۸/۲	% ۵۰/۷	۶۰	YU و همکاران <sup>۴۵</sup>
UV/WO <sub>3</sub> /TiO <sub>2</sub>	% ۱۰۰	% ۶۳	۱۲۰	Ramos-Delgado و همکاران <sup>۳۱</sup>
UV/Zn <sup>2+</sup> -doped TiO <sub>2</sub>	% ۹۸	% ۷۴	۹۰	Nasseri و همکاران <sup>۳۷</sup>
UV/g-C <sub>3</sub> N <sub>4</sub> /Fe <sub>3</sub> O <sub>4</sub> /Ag	% ۱۰۰	% ۸۰/۸۸	۶۰	مطالعه حاضر

دست آمد. با توجه به نتایج به دست آمده  $\text{g-C}_3\text{N}_4/\text{Fe}_3\text{O}_4/\text{Ag}$  از پتانسیل بالای برای حذف ملاتیون برخوردار بوده و می‌تواند به عنوان یک کاتالیست امیدوار کننده برای از بین بردن آلاینده‌های مختلف از محلول‌های آبی استفاده شود.

## تشکر و سپاسگزاری

این مطالعه، حاصل از پایان نامه کارشناسی ارشد مهندسی بهداشت محیط دانشگاه علوم پزشکی ایران با کد اخلاق ۹۷-۴-۶۱-۱۳۴۸۹ IR.iums.REC.1397-884 می‌باشد که بدین وسیله قدردانی می‌گردد.

## نتیجه گیری

در این مطالعه ملاتیون به خوبی توسط نانوکامپوزیت  $\text{g-C}_3\text{N}_4/\text{Fe}_3\text{O}_4/\text{Ag}$  در حضور اشعه UV حذف گردید. پارامترهای موثر بر راندمان حذف در pH ۷، دوز کاتالیست ۰/۵ گرم بر لیتر و غلظت آلاینده ۵ میلی گرم بر لیتر بود. نتایج نشان داد راندمان حذف ملاتیون در شرایط قلیایی بالاتر از اسیدی می‌باشد. معادلات مربوط به سیتیک نشان داد که راندمان حذف ملاتیون از معادله درجه اول پیروی نموده و دارای  $R^2 = ۰/۹۸۵۲$  و  $K = ۰/۰۴۸$  می‌باشد. علاوه بر این رادیکال  $\cdot\text{OH}$  به عنوان عامل کننده مکانیسم حذف ملاتیون به

## References

1. Hela DG, Lambropoulou DA, Konstantinou IK, Albanis TA. Environmental monitoring and ecological risk assessment for pesticide contamination and effects in Lake Pamvotis, northwestern Greece. *J Environ Toxicol Chem* 2005;24(6): 1548-56.
2. Sakkas V, Dimou A, Pitarakis K, et al. TiO<sub>2</sub> photocatalyzed degradation of diazinon in an aqueous medium. *J Environ Chem Lett* 2005;3(2): 57-61.
3. Nasseri S, Borna MO, Esrafilo A, et al. Photocatalytic degradation of malathion using Zn 2+-doped TiO<sub>2</sub> nanoparticles: statistical analysis and optimization of operating parameters. *Int J Appl Phys* 2018;124(2): 175.
4. Kadam A, Dhabbe R, Kokate M, et al. Preparation of N doped TiO<sub>2</sub> via microwave-assisted method and its photocatalytic activity for degradation of Malathion. *J Spectrochim Acta A Mol Biomol Spectrosc* 2014;133: 669-76.
5. De Silva H, Samarawickrema N, Wickremasinghe A. Toxicity due to organophosphorus compounds: what about chronic exposure? *J Trans R Soc Trop Med Hyg* 2006;100(9): 803-6.
6. Bermúdez-Cousó A, Fernández-Calviño D, Pateiro-Moure M, et al. Adsorption and desorption kinetics of carbofuran in acid soils. *J Hazard Mater* 2011;190(1-3):159-67.
7. Dargahi A, Samarghandi MR, Karami A, et al. Investigation of Residual Concentrations of Organic Phosphorus Pesticides in Surface Water and Groundwater Sources Supplying Drinking Water of Kermanshah Province. *J Health Sci* 2018;9(2):133-44.
8. Shakerkhatabi M, Mosaferi M, Jafarabadi MA, et al. Pesticides residue in drinking groundwater resources of rural areas in the northwest of Iran. *J Health Promot Perspect* 2014;4(2): 195.
9. Moussavi G, Hosseini H, Alahabadi A. The investigation of diazinon pesticide removal from contaminated water by adsorption onto NH<sub>4</sub>Cl-induced activated carbon. *J Chem Eng Trans* 2013;214: 172-9.
10. Chong MN, Jin B, Chow CW, Saint C. Recent developments in photocatalytic water treatment technology: a review. *J Water Res* 2010;44(10): 2997-3027.
11. Miguel N, Ormad MP, Mosteo R, Ovelloiro JL. Photocatalytic degradation of pesticides in natural water: effect of hydrogen peroxide. *J Int photoenergy* 2012;2012.
12. Mohajerani M, Mehrvar M, Ein-Mozaffari F. An overview of the integration of advanced oxidation technologies and other processes for water and wastewater treatment. *Int J Eng* 2009;3(2): 120-46.
13. Gao E, Wang W, Shang M, Xu J. Synthesis and enhanced photocatalytic performance of graphene-Bi<sub>2</sub>WO<sub>6</sub> composite. *J Phys Chem Chem Phys* 2011;13(7): 2887-93.
14. Liu L, Bai H, Liu J, Sun DD. Multifunctional graphene oxide-TiO<sub>2</sub>-Ag nanocomposites for high performance water disinfection and decontamination under solar irradiation. *J Hazard Mater* 2013;261: 214-23.
15. Amarjargal A, Tijing LD, Im I-T, Kim CS. Simultaneous preparation of Ag/Fe<sub>3</sub>O<sub>4</sub> core-shell nanocomposites with enhanced magnetic moment and strong antibacterial and catalytic properties. *J Chem Eng* 2013;226: 243-54.
16. Wang M, Cui S, et al. Synthesis of  $\text{g-C}_3\text{N}_4/\text{Fe}_3\text{O}_4$

- nanocomposites and application as a new sorbent for solid phase extraction of polycyclic aromatic hydrocarbons in water samples. *J Talanta* 2015;132:922-8.
17. Zhang X, Wu Y, Xiao G, et al. Simultaneous photocatalytic and microbial degradation of dye-containing wastewater by a novel g-C3N4-P25/photosynthetic bacteria composite. *J Plos one* 2017;12(3): e0172747.
  18. Pant B, Park M, Lee JH, et al. Novel magnetically separable silver-iron oxide nanoparticles decorated graphitic carbon nitride nano-sheets: A multifunctional photocatalyst via one-step hydrothermal process. *J Colloid Interf Sci* 2017;496: 343-52.
  19. Dixit S, Hering JG. Comparison of arsenic (V) and arsenic (III) sorption onto iron oxide minerals: implications for arsenic mobility. *J Environ Sci Technol* 2003;37(18): 4182-9.
  20. Zhu Z, Lu Z, Wang D, et al. Construction of high-dispersed Ag/Fe3O4/g-C3N4 photocatalyst by selective photo-deposition and improved photocatalytic activity. *J Appl Catal B* 2016;182: 115-22.
  21. Ma S, Zhan S, Jia Y, et al. Enhanced disinfection application of Ag-modified g-C3N4 composite under visible light. *J Appl Catal B* 2016;186: 77-87.
  22. Tran QH, Le A-T. Silver nanoparticles: synthesis, properties, toxicology, applications and perspectives. *J ANSN* 2013;4(3): 033001.
  23. FAO/WHO. Data sheet on pesticides, Malathion World Health Organization1977.
  24. Akhundi A, Habibi-Yangjeh A. High performance magnetically recoverable g-C3N4/Fe3O4/Ag/Ag2SO3 plasmonic photocatalyst for enhanced photocatalytic degradation of water pollutants. *J Adv Powder Technol* 2017;28(2): 565-74.
  25. Pant B, Park M, Kim H-Y, Park S-J. Ag-ZnO photocatalyst anchored on carbon nanofibers: synthesis, characterization, and photocatalytic activities. *J Synth Met* 2016;220: 533-7.
  26. Liu L, Qi Y, Lu J, et al. A stable Ag3PO4@ g-C3N4 hybrid core@ shell composite with enhanced visible light photocatalytic degradation. *J Appl Catal B* 2016;183: 133-41.
  27. Mousavi M, Habibi-Yangjeh A. Ternary g-C3N4/Fe3O4/Ag3VO4 nanocomposites: novel magnetically separable visible-light-driven photocatalysts for efficiently degradation of dye pollutants. *J Mater Chem Phys* 2015;163: 421-30.
  28. Pant B, Pant HR, Barakat NA, et al. Incorporation of cadmium sulfide nanoparticles on the cadmium titanate nanofibers for enhanced organic dye degradation and hydrogen release. *J Ceram Int* 2014;40(1): 1553-9.
  29. Burrows HD, Santaballa J, Steenken S. Reaction pathways and mechanisms of photodegradation of pesticides. *J photochem photobio B* 2002;67(2): 71-108.
  30. Badawy MI, Ghaly MY, Gad-Allah TA. Advanced oxidation processes for the removal of organophosphorus pesticides from wastewater. *J Desalination* 2006;194(1-3): 166-75.
  31. Ramos-Delgado N, Hinojosa-Reyes L, Guzman-Mar I, et al. Synthesis by sol-gel of WO3/TiO2 for solar photocatalytic degradation of malathion pesticide. *J Catal Today* 2013;209: 35-40.
  32. Salarian A-A, Hami Z, Mirzaei N, et al. N-doped TiO2 nanosheets for photocatalytic degradation and mineralization of diazinon under simulated solar irradiation: Optimization and modeling using a response surface methodology. *J Mol Liq* 2016;220: 183-91.
  33. Naushad M, AL-Othman Z, Khan M, et al. Equilibrium, kinetics and thermodynamic studies for the removal of organophosphorus pesticide using Amberlyst-15 resin: Quantitative analysis by liquid chromatography-mass spectrometry. *J Ind Eng Chem* 2014;20(6): 4393-400.
  34. Dehghani MH, Niasar ZS, Mehrnia MR, et al. Optimizing the removal of organophosphorus pesticide malathion from water using multi-walled carbon nanotubes. *J Chem Eng* 2017;310: 22-32.
  35. Fadaei A, Kargar M. Removal of malathion from various waters by advanced oxidation processes. *J Chem Soc Pakistan* 2015;37(1).
  36. Zhang Q, Jing Y, Shiue A, et al. Photocatalytic degradation of malathion by TiO2 and Pt-TiO2 nanotube photocatalyst and kinetic study. *J Environ Sci Heal B* 2013;48(8):686-92.
  37. Nandan S, Tailor D, Yadav A. Malathion pesticide degradation by advanced oxidation process (UV-irradiation). *Int Res J Adv Eng Sci* 2016;1(4): 153-6.
  38. Mansoury M, Godini H, Shams Khorramabadi G. Photocatalytic removal of natural organic matter from aqueous solutions using zinc oxide nanoparticles immobilized on glass. *IJHE* 2015;8(2): 181-90.
  39. Devipriya S, Yesodharan S. Photocatalytic degradation of pesticide contaminants in water. *J Sol energ Mat Sol C* 2005;86(3): 309-48.
  40. Ghazalian E, Ghasemi N, Amani-Ghadim A. Enhanced visible light photocatalytic performance of Ag3PO4 through doping by different trivalent Lanthanide cations. *J Mater Res Bull* 2017;88: 23-32.
  41. Ghazalian E, Ghasemi N, Amani-Ghadim A. Effect of gadolinium doping on visible light photocatalytic performance of Ag3PO4: evaluation of activity in degradation of an anthraquinone dye and mechanism study. *J Mol Catal A Chem* 2017;426: 257-70.
  42. Reddy KH, Martha S, Parida K. Fabrication of novel p-BiOI/n-ZnTiO3 heterojunction for degradation of

بررسی کارایی حذف آفت کش ملاتیون توسط نانوکامپوزیت  $\text{g-C}_3\text{N}_4/\text{Fe}_3\text{O}_4/\text{Ag}$  از محلولهای آبی در حضور اشعه UV

- rhodamine 6G under visible light irradiation. *J Inorg Chem* 2013;52(11): 6390-401.
43. Ali HM, Abou-Mesalam M, El-Shorbagy M. Structure and optical properties of chemically synthesized titanium oxide deposited by evaporation technique. *J Phys Chem Solids* 2010;71(1): 51-5.
44. Dehghani M, Fadaei A. Photocatalytic oxidation of organophosphorus pesticides using zinc oxide. *Res J Chem Environ* 2012;16.
45. Yu H, Wang X, Sun H, Huo M. Photocatalytic degradation of malathion in aqueous solution using an Au-Pd-TiO<sub>2</sub> nanotube film. *J Hazard mater* 2010;184(1-3): 753-8.

## **Evaluation of Malathion Pesticide Removal Efficiency by g-C<sub>3</sub>N<sub>4</sub>/Fe<sub>3</sub>O<sub>4</sub>/Ag Nanocomposites from Aqueous Solutions in the Presence of UV Irradiation**

**Ali Esrafili<sup>1,3</sup>, Soudabeh Ghodsi<sup>2\*</sup>, Roshanak Rezaei Kalantary<sup>1,3</sup>, Mitra Gholami<sup>1,3</sup>**

*1. Department of Environmental Health Engineering, School of Public Health, Iran University of Medical Sciences, Tehran, Iran*

*2. M.Sc student of Environmental Health Engineering, School of Public Health, Iran University of Medical Sciences, Tehran, Iran*

*3. Research Center for Environmental Health Technology, Iran University of Medical Sciences, Tehran, Iran*

\* E-mail: s.ghodsi3847@gmail.com

\* E-mail: moeinaddini@ut.ac.ir

*Received: 14 Dec 2019 ; Accepted: 16 Feb 2020*

### **ABSTRACT**

**Background:** Organophosphates are one of the most common pesticides in the world. One of the most commonly used toxins in this group is malathion, which is classified by the EPA as Group III carcinogenic substances. Therefore, due to the high consumption of this pesticide and its pathogenicity, it should be eliminated in an appropriate manner. One of the elimination ways is the use of advanced oxidation processes. The aim of this study was to determine the photocatalytic removal of malathion pesticide by g-C<sub>3</sub>N<sub>4</sub>/Fe<sub>3</sub>O<sub>4</sub>/Ag nanocomposite.

**Method:** In this study, g-C<sub>3</sub>N<sub>4</sub>/Fe<sub>3</sub>O<sub>4</sub>/Ag nanocomposites synthesized by hydrothermal method were used for photocatalytic removal of malathion. The variables studied were pH, nanocomposite dose, and contaminant concentration. Furthermore, the radical effects of ammonium oxalate, tert-butanol, and benzoquinone were analyzed on the experiment procedure.

**Results:** The best removal efficiency of malathion at pH = 7, the dose of 0.5 g/l, and contaminant concentration 10 mg/l at 60 min was 100%. By increasing the catalyst dose up to 0.5 g/L, the efficiency increased. However, with increasing contaminant concentration, the removal efficiency decreased. Additionally, the removal efficiency of malathion in the presence of ammonium oxalate, tert-butanol, and benzoquinone radicals was 93.36%, 44.78%, and 90.71%, respectively, and the reaction kinetics followed the first equation with R<sup>2</sup> = 0.9852.

**Conclusion:** Therefore, g-C<sub>3</sub>N<sub>4</sub>/Fe<sub>3</sub>O<sub>4</sub>/Ag has a high potential for malathion removal moreover can be used to remove various pollutants from aqueous solutions.

**Keywords:** Photocatalyst, Malation, C<sub>3</sub>N<sub>4</sub>/Fe<sub>3</sub>O<sub>4</sub>/Ag